

$\text{Ni}_{1-x}\text{Zn}_x\text{Fe}_2\text{O}_4 (0 \leq x \leq 1)$ Ferrite의 자기적 성질 연구

조익한 · 양재석 · 김응찬 · 강신규

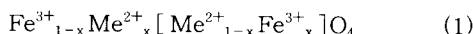
영남대학교 물리학과, 경산 712-749

(1996년 11월 6일 받음, 1997년 1월 3일 최종수정본 받음)

본 연구에서는 세라믹 소결 방법중의 하나인 전식법으로 $\text{Ni}_{1-x}\text{Zn}_x\text{Fe}_2\text{O}_4$ 을 제조하고 상온에서의 X-선 회절과 Mössbauer 스펙트럼을 조사하였다. 시료들은 Zn 함유량 x 가 증가됨에 따라 격자상수는 선형으로 증가하여 $8.3111 \text{ \AA} \sim 8.4184 \text{ \AA}$ (± 0.0003)이다. 산소 파라미터는 $0.3799 \sim 0.3852$ 이며, x 가 증가됨에 따라 증가하며, 특히 $x = 0.4 \sim 0.8$ 사이에서 크게 증가하였다. Mössbauer 스펙트럼은 x 가 0.6이하인 시료들은 초미세 자기장에 의한 공명흡수선을 나타내고, Zn 함유량 x 가 증가됨에 따라 초미세 자기장은 감소하고 있다. 특히 x 가 0.2에서 0.6인 스펙트럼은 Yafet-Kittel의 자기구조를 갖으며 x 가 0.6인 시료는 완화현상에 의한 공명흡수선을 나타내고 있다. x 가 0.8 이상인 시료는 사중극자 분열에 의한 공명흡수선을 나타내고 있다. 또한 Mössbauer 스펙트럼으로 부터 이성질체 이동(IS), 사중극자 분열(QS), 초미세 자기장(HF), 자기 모우멘트(μ_B)의 Zn 함유량 x 에 따른 변화를 조사하였다.

I. 서 론

스피넬 구조를 갖는 페라이트의 화학식은 AB_2O_4 의 형태를 가지며, 8면체 자리(octahedral site)를 []로 표시하여 각 자리별 분포상태를



로 표현한다. 여기서 x 가 1인 경우 가전자 2인 금속이온 Me^{2+} 이 4면체 자리(tetrahedral site, 이하 A site)에만 위치하고 가전자 3인 금속이온들이 8면체 자리(octahedral site, 이하 B site)를 점령하는 구조를 정 스피넬(normal spinel)이라 하며, $x=0$ 인 경우 2가 금속이온들이 B site에 위치하고 3가 금속이온들의 반은 A site에 나머지 반은 B site에 위치한 경우를 역 스피넬(inverse spinel)이라 한다. 또한 금속이온 Me^{2+} 가 A site와 B site 모두에 분배되는 경우를 혼합형 스피넬(mixed spinel)이라 한다.

스피넬 구조를 갖는 물질의 주목할 만한 특성은 각 site 간의 초교환 상호작용이 작용하며, 모든 교환분 J_{AA} , J_{AB} 및 J_{BA} 가 음이며 이 상호작용에 의하여 연결된 스피넬의 반평행배열을 선호한다는 것이다. 그러나 AB 상호작용이 가장 강하기 때문에 A스핀과 B스핀들이 반평행되기 위하여 A스핀들은 서로 평행하게 되고 B스핀들도 서로 평행하게 되는 것이다[1].

NiFe_2O_4 페라이트는 역 스피넬 구조를 이루며 A-B site간의 자기 모우멘트(magnetic moment)는 서로 반평행 배열을 이루며, 정 스피넬 구조를 갖는 ZnFe_2O_4 페

라이트는 상자성이다. 따라서, x 몰의 ZnFe_2O_4 을 $(1-x)$ 몰의 NiFe_2O_4 페라이트에 가해서 혼합 페라이트를 만들면 자기구조 및 성질이 변화할 것이라 예상되며, Mössbauer 분광법으로 자기적 성질의 변화특성과 자기구조를 연구하고자 한다.

II. 실험방법

본 연구에서 제작된 시료는 Aldrich사의 순도가 99.99%인 Fe_2O_3 , ZnO 및 NiO 를 사용하여 세라믹 소결 방법 중의 하나인 전식법으로 제작하였다.

순도가 99.99%인 Fe_2O_3 , ZnO 및 NiO 분말을 150°C 에서 습기를 제거한 후, 10^{-4} g 까지 측정한 후 mole % 비로 혼합하여 볼밀(ball mill) 기구내에서 혼합 분쇄한 후 3000 kg/cm^2 의 압력을 가하여 tablet 형태로 성형시켰다. 열처리는 1000°C 에서 12시간 가열 한후 $0.1^\circ\text{C}/\text{min}$ 로 실온까지 서냉하여 1차 등온소결하였다. 제작된 시료의 보다 나은 spinel 안정상을 얻기 위하여, 1차 등온 소결된 시료를 곱게 분쇄하여 80°C 증류수에 시료중량의 5 wt% 회석된 PVA(Poly Vinyl Alchol)용액을 첨가하여 3000 kg/cm^2 의 압력을 가하여 성형하였다. 성형된 시료는 직경 19 mm, 두께 3.0 ~ 3.5 mm인 tablet 모양이다. 이 시료를 1200°C 에서 12시간 가열 한후 $0.1^\circ\text{C}/\text{min}$ 로 실온까지 서냉하여 2차 등온소결하였다. 시료들을 분말로 만들어 X-선과 Mössbauer 측정용으로 사용하였다.

시료의 결정구조를 파악하기 위하여 입사파의 파장이 고정되어 있고 회절각이 변화는 powder method[1]를

사용하여 단색의 CuKa X-선을 사용하였다. 실험에 사용된 X-선 회절기는 Rigaku사의 제품이며, Cu-target과 Ni-filter를 사용하였다. 회절각 2θ 은 $15^\circ \sim 80^\circ$ 이다.

Mössbauer 측정장치는 Fast ComTec (Halder)사의 electromechanical 등가속(또는 sinusoidal) 속도발생장치, Canberra사의 MCA (MultiChannel Analyzer, Series 35), γ -선 검출장치, 전자 증폭기 그리고 선형증폭기로 구성된다. 속도발생장치는 최대 100 Hz의 sweep time, 200 mm/s의 속도, 0.2 %의 오차를 갖고 있으며 수직 및 수평배열이 가능하다.

실험에 사용된 γ -선원은 14.4 keV 전이에너지を持つ Rh에 확산시킨 370 MBq의 ^{57}Co 동위원소를 사용하였다. γ -선 검출기는 97 % Kr과 3 % CO_2 가스가 1기압으로 충전된 비례계수기(proportional counter)이며 검출기의 전압은 DC 1800 V이다. 최대 속도범위는 ± 12.0 mm/s, sweep time은 20 Hz, γ -선원과 γ -선 검출기 사이의 거리는 10.0 cm로 하였다. 속도교정은 실온에서 측정된 α -Fe의 스펙트럼을 이용하였으며, 이성질체 이동은 $^{57}\text{Co}/\text{Rh}$ 에 대한 α -Fe의 이성질체 이동값을 보정하였다.

III. 결과 및 논의

1. X-선 회절

$\text{Ni}_{1-x}\text{Zn}_x\text{Fe}_2\text{O}_4$ ($0 \leq x \leq 1$) 페라이트의 X-선 회절무늬는 Fig. 1에 나타내었다. X-선 회절무늬는 Rietveld법 [2]을 이용하여 분석하였다. 격자상수(lattice constant), 산소 파라미터(oxygen parameter) 및 각 site와 산소이온사이의 최인접 거리는 Table I에 제시되어 있다. 또한 $\text{Ni}_{1-x}\text{Zn}_x\text{Fe}_2\text{O}_4$ 페라이트에서 x 조성에 따른 격자상수 및 산소 파라미터의 변화를 Fig. 2와 3에 각각 나타내었다.

격자상수는 $8.3111 \text{ \AA} \sim 8.4184 \text{ \AA}$ (± 0.0003)로 JCPDS값과 잘 일치하고 있으며 Zn 함유량 x가 증가됨에 따라 선형적으로 증가하였다. 이는 스피넬 고용체에서 조성변화에 따라 격자상수가 선형으로 변화한다는 Guillaud [3]의 보고와 잘 일치하고 있다. 산소 파라미터는 0.3799 ~ 0.3852 이며, Zn 함유량 x가 증가됨에 따라 증가하였으며 그 증가가 $x = 0.4 \sim 0.8$ 사이에서 크게 나타났다.

Zn^{2+} 의 이온반경은 0.82 \AA , Ni^{2+} 의 이온반경은 0.78 \AA , Fe^{3+} 의 이온반경은 0.67 \AA 이다. Zn^{2+} 이온은 A site를 선호하는 경향이 높으며, Ni^{2+} 이온은 B site에 대하여 강한 선호성을 가진다. $\text{Ni}_{1-x}\text{Zn}_x\text{Fe}_2\text{O}_4$ 스피넬 페라이트에서 Ni^{2+} 가 Zn^{2+} 로 치환되면, A site에는 상대적으

로 이온반경이 큰 Zn^{2+} 의 양이 증가하는 반면, 상대적으로 이온반경이 작은 Fe^{2+} 의 양은 감소하게 된다. 따라서, Zn^{2+} 의 양이 증가됨에 따라 A site의 양이온과 산소이온 사이의 거리는 증가하고 B site의 양이온과 산소이온 사이의 거리는 가까워 진다.

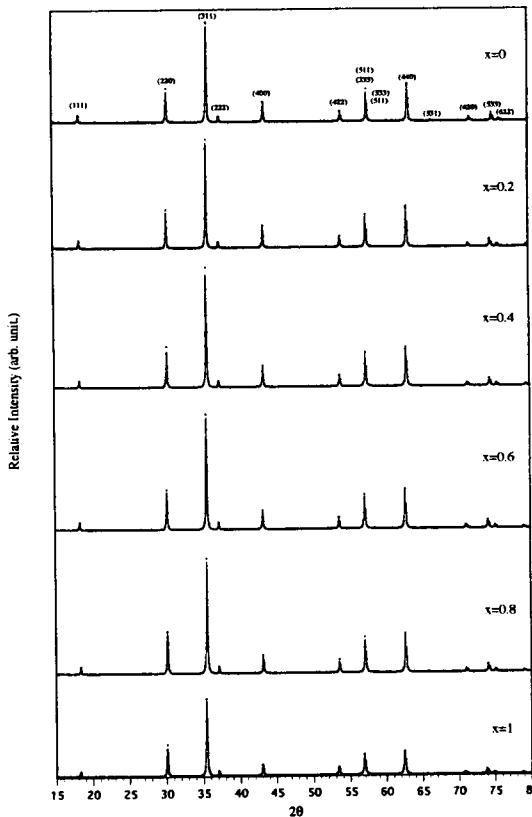


Fig. 1. X-ray diffraction patterns of $\text{Ni}_{1-x}\text{Zn}_x\text{Fe}_2\text{O}_4$.

Table I. Lattice constant a , oxygen parameter u , distance between metal ion and O ion of $\text{Ni}_{1-x}\text{Zn}_x\text{Fe}_2\text{O}_4$ ferrite.

x	$a(\text{\AA})$	u	A-O(\AA)	B-O(\AA)
0	8.3111	0.3799	1.870	2.037
0.2	8.3416	0.3806	1.888	2.038
0.4	8.3577	0.3820	1.911	2.031
0.6	8.3887	0.3834	1.939	2.026
0.8	8.3975	0.3849	1.961	2.017
1	8.4184	0.3852	1.972	2.019

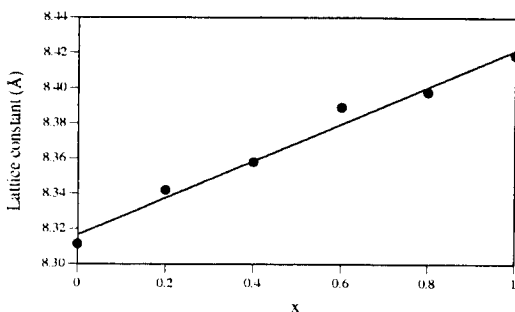


Fig. 2. The lattice constant of Ni_{1-x}Zn_xFe₂O₄ as a function of Zn content x.

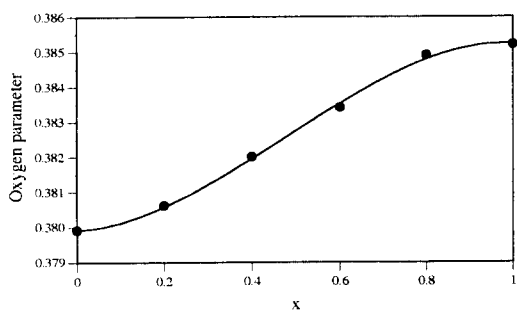


Fig. 3. The oxygen parameter of Ni_{1-x}Zn_xFe₂O₄ as a function of Zn content x.

산소 파라미터는 A site의 양이온과 산소이온 사이의 거리가 멀어지면 증가하고, 가까워 지면 감소하기 때문에, A site에 Zn²⁺의 양이 증가하면 산소 파라미터는 증가하게 된다.

2. Mössbauer 스펙트럼

A와 B site의 공명흡수선으로 충첩된 Mössbauer 스펙트럼을 분석하기 위하여 Lorenzian 선형의 충첩

$$y_i(x_i; p) = \sum_{j=0}^l B_j x^j - \sum_{k=0}^m A_k \frac{\Gamma_k / 2}{(\Gamma_k / 2)^2 + (x_i - V_k)^2} \quad (2)$$

을 Chi-Square Fitting 함수로 사용하였다. 여기서 B_j 는 baseline의 j차항의 계수이며, A_k 는 k번째 공명흡수선의 면적, Γ_k 는 k번째 공명흡수선의 선폭, V_k 는 k번째 공명흡수선의 중심위치를 나타낸다.

전기사중극자 상호작용만 작용하는 경우는 Mössbauer 스펙트럼은 2개의 공명흡수선(2중선)으로 구성되며 각 공명흡수선 위치 V_k 는 아래와 같다.

$$V_k = \delta + \alpha_k \Delta E_Q, \quad k = 1, 2$$

$$\alpha_2 = -\alpha_1 = \frac{1}{2} \quad (3)$$

여기서 δ 는 이성질체 이동, ΔE_Q 는 사중극자 분열이다.

초미세 상호작용과 전기사중극자 상호작용이 동시에 작용하는 경우에, 전기사중극자 상호작용이 자기이중극자 상호작용에 비하여 상당히 작을 때, Mössbauer 스펙트럼은 6개의 공명흡수선(6중선)으로 구성되며 각 중심위치 V_k 는 다음과 같다.

$$V_k = \delta + \alpha_k E_Q + \beta_k H, \quad k = 1, \dots, 6$$

$$\alpha_6 = \alpha_1 = 1, \alpha_k = 1, k = 2, \dots, 5$$

$$\beta_6 = -\beta_1 = \frac{1}{2} (3g_e + g_g) \mu_n$$

$$\beta_5 = -\beta_2 = \frac{1}{2} (g_e + g_g) \mu_n$$

$$\beta_4 = -\beta_3 = \frac{1}{2} (g_g - g_e) \mu_n \quad (4)$$

여기서 g_g 와 g_e 는 ⁵⁷Fe핵의 기저상태와 제일 여기상태의 g-factor, μ_n 은 핵 magneton, δ 는 이성질체 이동, H 는 초미세 자기장이며 전기사중극자 이동(quadrupole shift) E_Q 는 다음과 같다.

$$E_Q = \frac{1}{8} e^2 q Q (3\cos\theta - 1 + \eta \sin^2\theta \cos^2 2\theta) \quad (5)$$

Q 는 핵의 사중극자 모우멘트, q 는 전기장 기울기의 최대치, η 는 전기장 기울기 텐서의 비대칭인자, θ , ϕ 는 초미세 자기장과 전기장 기울기 텐서의 주축 방향사이의 극좌표각이다.

각 공명흡수선의 선폭관계는 현재의 경우 대칭성을 고려하여

$$\Gamma_1 = \Gamma_6, \Gamma_2 = \Gamma_5, \Gamma_3 = \Gamma_4, \quad (6)$$

라고 두었다. 또한 시료가 분말인점을 고려하여 각 공명흡수선의 면적비는 다음과 같이 두었다.

$$A_1 : A_2 : A_3 : A_4 : A_5 : A_6 = 3 : 2 : 1 : 1 : 2 : 3 \quad (7)$$

또한 각 site간의 면적비는

$$\text{A site} : \text{B site} = 1-x : 1+x \quad (8)$$

로 두었다. 이와 같이 분석한 결과는 Fig. 4와 Table II에서 보는 바와 같다.

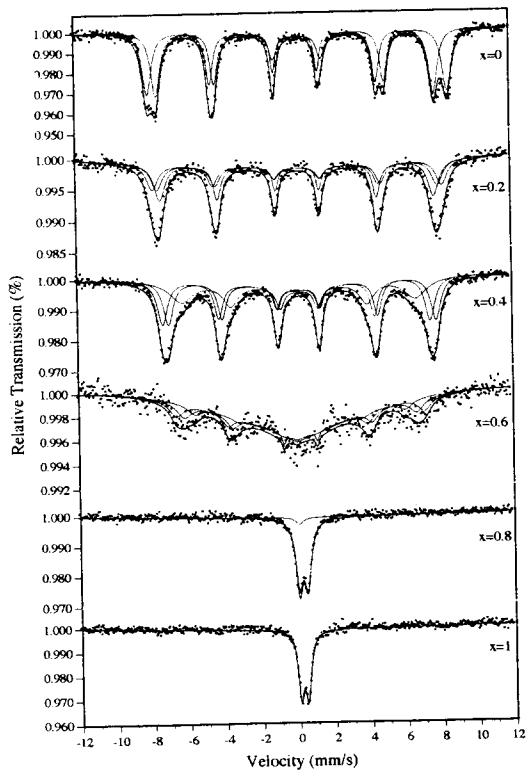


Fig. 4. The Mössbauer spectra of $\text{NI}_{1-x}\text{Zn}_x\text{Fe}_2\text{O}_4$ at room temperature.

Table II. Mössbauer parameters of $\text{Ni}_{1-x}\text{Zn}_x\text{Fe}_2\text{O}_4$ ferrite

x	IS(A) (mm/s)	IS(B) (mm/s)	QS(A) (mm/s)	QS(B) (mm/s)	HF(A) (kOe)	HF(B1) (kOe)	HF(B2) (kOe)
0	0.157	0.277	0	0.018	476		514
0.2	0.201	0.207	0	0.018	470	496	481
0.4	0.203	0.207	0	0.033	398	468	448
0.6	0.207	0.202	0	0.024	426	426	396
0.8	0.037	0.240	—	0.469	—	—	—
1	—	0.232	—	0.396	—	—	—

2. 1. 이성질체 이동

Table II와 Fig. 5로 부터 $\text{Ni}_{1-x}\text{Zn}_x\text{Fe}_2\text{O}_4$ ($0 \leq x \leq 1$) 페라이트는 전조성 영역에 걸쳐 이성질체 이동(IS)이 $0.04 \sim 0.24$ mm/s 사이의 값을 가지며 이러한 사실은 $\text{Ni}_{1-x}\text{Zn}_x\text{Fe}_2\text{O}_4$ 페라이트계에 존재하는 Fe이온은 site에 관계없이 Fe^{3+} 이온만 존재함을 잘 입증하고 있다[4, 5].

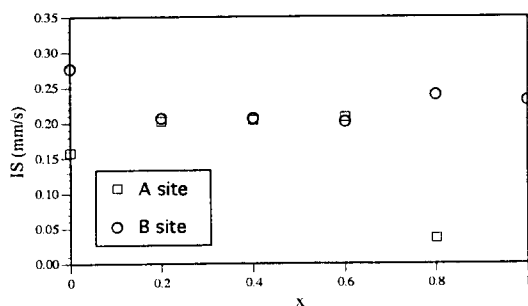


Fig. 5. The isomer shift of $\text{NI}_{1-x}\text{Zn}_x\text{Fe}_2\text{O}_4$ as a function of Zn content x.

실험결과로 부터 $\text{Ni}_{1-x}\text{Zn}_x\text{Fe}_2\text{O}_4$ 페라이트에서 B site의 IS는 A site의 IS보다 큼을 알 수 있는데, 이는 A site는 주위의 O^{2-} 과 공유결합을 하며 공유결합성 물질에서는 3d 전자가 Fe원자 밖으로 많이 나가 있고 또 4s 전자가 Fe쪽으로 들어오기 때문에 핵에서 s 전자밀도는 증가한다. ^{57}Fe 의 경우 14.4 keV 준위로 들뜬상태에 있을 때 핵 반경은 바닥상태에 있을 때의 핵 반경보다 작으므로 s-전자밀도의 증가는 핵에서 IS의 감소를 의미한다. 따라서 $\text{Ni}_{1-x}\text{Zn}_x\text{Fe}_2\text{O}_4$ 페라이트계에서 B site의 IS은 A site의 IS보다 큰 사실은 공유결합과 밀접한 관계가 있다.

산소 파라미터를 이용하여 계산된 $\text{Fe}^{3+}-\text{O}^{2-}$ 거리는 NiFe_2O_4 인 경우 $R_{AO} = 1.8698 \text{ \AA}$, $R_{BO} = 2.0371 \text{ \AA}$ 이

며, ZnFe_2O_4 인 경우 $R_{\text{AO}} = 1.9716 \text{ \AA}$, $R_{\text{BO}} = 2.0185 \text{ \AA}$ 이다. A site는 x 가 증가됨에 따라 $\text{Fe}^{3+}-\text{O}^{2-}$ 거리는 멀어지며 $|R_{\text{AO}}(\text{ZnFe}_2\text{O}_4) - R_{\text{AO}}(\text{NiFe}_2\text{O}_4)|$ 는 최대 0.1018 \AA 을 가지는데 반해, B site는 x 가 증가됨에 따라 $\text{Fe}^{3+}-\text{O}^{2-}$ 거리가 감소하지만 $|R_{\text{BO}}(\text{ZnFe}_2\text{O}_4) - R_{\text{BO}}(\text{NiFe}_2\text{O}_4)|$ 는 0.0186 \AA 을 가지므로 Zn 함유량 x 에 대하여 거리 감소율은 매우 작다. 따라서 A site의 IS은 Zn 함유량 x 에 의존하며, B site의 IS은 Zn 함유량 x 에 대한 의존성은 거의 없을 것으로 기대된다. $\text{Fe}^{3+}-\text{O}^{2-}$ 거리가 증가할 수록 해에서 s-전자밀도는 감소하므로 A site의 IS은 Zn 함유량 x 에 따라 증가할 것이라 예상된다. 그러나 A site에서 IS은 x 에 대하여 큰 변화가 없으며, 특히 $x = 0.8$ 일때 A site에서 IS은 크게 감소하는데 이는 앞서 언급한 이온사이의 거리에 대한 해석과 일치하지 않는다. IS의 감소는 핵에서 전자밀도가 증가됨을 의미하므로 A site의 IS은 공유결합과 밀접한 관계가 있음이 사료된다.

2. 2 사중극자 분열

각 site간의 사중극자 분열(QS)을 비교해 보면 B site의 사중극자 분열 QS(B)은 A site의 사중극자 분열 QS(A)보다 크다. A site는 입방 점대칭으로 전기장 기울기(EFG)가 존재하지 않으며, B site는 대각선 방향으로 대칭으로 [111] 방향으로 주축 방향을 가진 EFG가 존재한다. 따라서 A site에 위치한 Fe^{3+} 에는 사중극자 분열은 없으며, B site의 사중극자 분열은 존재할 것이다. 따라서, A site의 사중극자 분열은 0이며 B site의 사중극자 분열은 A site보다 큰 값을 갖고 있음을 실험 결과로 부터 알 수 있다.

$x = 0$ 에서부터 0.6까지 B site의 QS은 매우 작으며 Zn 함유량 x 에 따라 거의 변화가 없다. 이것은 $\text{Ni}_{1-x}\text{Zn}_x$

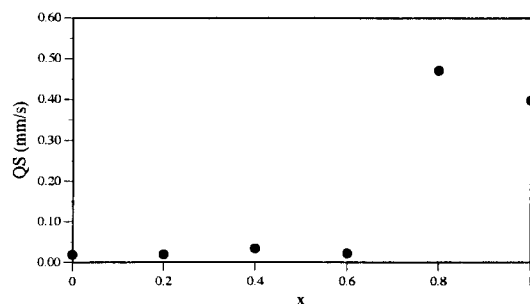


Fig. 6. The quadrupole splittings of $\text{Ni}_{1-x}\text{Zn}_x\text{Fe}_2\text{O}_4$ as a function of Zn content x .

Fe_2O_4 에서 화학적 무질서로 인하여 비자성 이온 Zn이 대치 되어도 어떤 변화를 관측할 수 없기 때문이다.

$x = 0.8$ 에 B site의 QS은 크게 증가하여 $x > 0.8$ 이상에서 QS은 감소하고 있다. 이 영역에서는 초미세 자기장은 없으며 순수한 사중극자 상호작용의 결과이기 때문이다. 일반적으로 사중극자 분열은 전기장 기울기(EFG)에 큰 영향을 받으며, 스페넬 구조에서의 전기장 기울기는 결정체내의 산소 파라미터 u 와 관계가 있다[6]. 또한 Hudson과 Whitfield는 산소 파라미터 u 가 증가하면 전기장 기울기가 감소한다고 보고한 바 있다[7]. 따라서 $x > 0.8$ 에 대하여 B site의 QS의 감소는 Zn^{2+} 이온이 치환됨에 따라 B site에서 이온반경이 큰 Fe^{3+} 증가됨으로써 산소 파라미터가 증가하기 때문이다.

2. 3 선 폭(Line Width)

$\text{Ni}_{1-x}\text{Zn}_x\text{Fe}_2\text{O}_4$ 페라이트에서 공명흡수선의 선폭은 Fig. 4에서 보는바와 같이 Zn 함유량 x 가 증가됨에 따라 증가하고, 특히 $x = 0.6$ 에서 최대의 선폭을 갖으며, $x = 0.8$ 인 시료에서부터 흡수선폭이 감소함을 알 수 있다. $x = 0.6$ 에서 선폭의 큰 증가는 전자스핀의 완화시간 t_s 와 ^{57}Fe 핵의 Larmor 세차시간 t_L 의 관계로 설명된다.

전자스핀의 완화 시간 t_s 이 Larmor 세차시간 t_L 보다 클 때 핵에서 초미세 자기장이 존재하며 선폭이 좁은 Zeeman분열상을 나타내는 공명흡수선이 관측된다. t_s 가 t_L 과 크기가 비슷할 때는 비대칭적이고 넓은 선폭을 가진 완화현상을 나타내는 Mössbauer 스펙트럼으로 관측된다. $t_s \ll t_L$ 일 때는 전자스핀의 빠른 요동으로 인하여 평균자기장, 즉 영의 자기장을 관측하기 때문에 상자성 상태로서 2중 축퇴된 사중극자 스펙트럼이 관측되며 선폭은 좁아지게 된다. 따라서 Mössbauer 스펙트럼도 전자스핀의 완화 시간 t_s 에 따라 Zeeman분열, 완화현상, 상자성을 나타내는 3개의 영역으로 관측될 수 있다.

$\text{Ni}_{1-x}\text{Zn}_x\text{Fe}_2\text{O}_4$ 페라이트의 흡수선폭이 Zn 함유량의 변화에 따라 3개의 영역으로 나타나며, 또한 Mössbauer 스펙트럼도 Zn 함유량의 변화에 따라 뚜렷하게 구별됨을 알 수 있다. 이러한 흡수선폭이 Zn 함유량의 따라 변화하는 것은 Ni-Zn 페라이트가 Zn 함유량의 변화에 따라 준강자성(ferrimagnetism)에서 상자성(paramagnetism)으로 변화되는 것을 증명한다. $x \leq 0.4$ 인 준강자성 영역에서는 x 가 증가됨에 따라 흡수선폭이 증가하며, 완화현상을 나타내는 $x = 0.6$ 의 영역에서는 흡수선폭이 급격히 증가하며, $x \geq 0.8$ 의 상자성 영역에서는 선폭이 감소하는 것은 전자스핀의 완화시간 t_s 로 인한 것으로 해석된다.

2. 4. 초미세 자기장

$x = 0$ 인 NiFe_2O_4 ferrite는 Fe^{3+} 이온이 A site와 B site에 1:1로 분포되어 있는 역 스페넬 구조를 이루며, Néel 이론에 따라 A-B 초교환 상호작용이 가장 강하며 그 결과 자기 모우멘트는 서로 반 평행 배열을 이룬다 [1]. 이러한 사실은 Mössbauer 스펙트럼으로부터 분명히 알 수 있다. $x = 0$ 인 스펙트럼은 잘 분리된 두 Zeeman pattern의 중첩으로 구성되어 있으며, A site와 B site에 분포되어 있는 Fe^{3+} 이온의 비는 각 6-중선의 면적비를 조사함으로써 알 수 있는데 실험의 결과 A site와 B site의 면적비는 $I_A/I_B = 1.00 (\pm 0.01)$ 이었다. 이러한 Mössbauer 스펙트럼으로부터 $\text{Ni}_{1-x}\text{Zn}_x\text{Fe}_2\text{O}_4$ 페라이트는 역 스페넬 구조를 이루며, Néel이 제시한 A-B site간의 반평행 스픈배열을 이루고 있음을 알 수 있다.

$0.2 \leq x \leq 0.6$ 인 Mössbauer 스펙트럼은 최내각 peak의 선풍에 비하여 최외각 peak의 선풍이 넓으며, $x = 0.4$ 인 스펙트럼은 최외각 peak의 선풍이 비대칭적이며 3개의 공명흡수선의 중첩으로 이루어져 있으리라 기대된다.

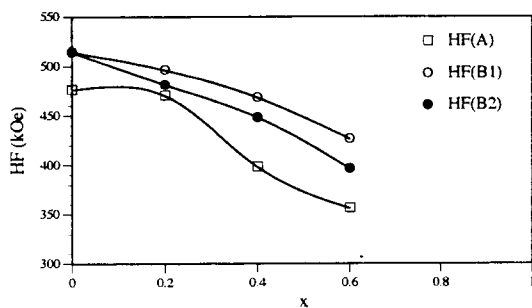


Fig. 7. The magnetic hyperfine field of $\text{Ni}_{1-x}\text{Zn}_x\text{Fe}_2\text{O}_4$ as a function of Zn content x.

비자성 이온인 Zn^{2+} 이 첨가됨으로 인해 A site에 있는 Fe^{3+} 이온이 B site로 이동하게 되며, B site에 있는 Fe^{3+} 이온과 B site에 있는 Fe^{3+} 이온간의 B-B 초교환 상호작용이 A-B 초교환 상호작용의 크기와 비슷하거나 강하게 작용할 때 B site의 스픈 배열은 단순히 일정한 방향을 갖지 못하며, Yafet-Kittel의 스픈 cant 현상이 일어난다 [8]. 이러한 Yafet-Kittel의 스픈 cant 현상은 특히 한쪽 site에 자성이온이 비자성으로 대치되는 경우에 나타난다는 사실이 알려져 있다. 따라서 비자성 이온이 포함된 $\text{Ni}_{1-x}\text{Zn}_x\text{Fe}_2\text{O}_4$ ($0.2 \leq x \leq 0.6$) 페라이트의 경우에도 Yafet-Kittel의 자기적 구조로 인한 해석으로 보는 것이 타당하며, B site의 Fe^{3+} 이온의 증가로 인한 $B(\text{Fe}^{3+}) - B(\text{Fe}^{3+})$ 초교환 상호작용이 상

대적으로 강하게 작용하여 각 site의 스픈배열은 Yafet-Kittel의 자기적 구조를 갖는다. 또한, $\text{Ni}_{1-x}\text{Zn}_x\text{Fe}_2\text{O}_4$ 페라이트의 초미세 자기장의 Zn 함유량 의존성은 Shrivastava 등 [9]이 Fe-Zn 페라이트에서 초미세 자기장의 Zn 함유량 의존성을 Yafet-Kittel의 자기적 구조 도입하여 설명한 Fe-Zn 페라이트와 유사하며, Yafet-Kittel의 자기적 구조를 갖는 Cu-Zn [10], Mg-Zn [11] 페라이트에서 초미세 자기장의 Zn 함유량 의존성과 유사하므로, $0.2 \leq x \leq 0.6$ 에 대하여 $\text{Ni}_{1-x}\text{Zn}_x\text{Fe}_2\text{O}_4$ 페라이트는 Yafet-Kittel의 자기적 구조를 갖고 있음을 볼 수 있다.

실험결과를 보면, $x \leq 0.6$ 에 대하여 Zn 함유량 x에 관계없이 B site에서 초미세 자기장 HF(B)은 A site에서 초미세 자기장 HF(A)보다 큰것은 다음과 같다. 각 site에 존재하는 Fe^{3+} 이온의 초미세 자기장은 각 site에서 Fe^{3+} 이온의 평균 자기화에 비례하며 Fe^{3+} 이온당 자기화가 A site보다 B site가 크기 때문이다.

Geller에 의하면 $\text{Fe}^{3+} - \text{O}^{2-} - \text{Fe}^{3+}$ 초교환 상호작용은 $\text{Fe}^{3+} - \text{O}^{2-} - \text{Ni}^{2+}$ 초교환 상호작용보다 크다 [12]. NiFe_2O_4 에 대하여 A site의 Fe^{3+} 이온은 12개의 최인접 B site를 갖고 있으며, B site의 반은 Fe^{3+} 이 점령해 있고 나머지 반은 Ni^{2+} 이 점령해 있다. 따라서 A site의 Fe^{3+} 이온은 평균적으로 B site의 Fe^{3+} 이온과 $1/2$ 의 자기적 결합을 그리고 Ni^{2+} 이온과 $1/2$ 의 자기적 결합을 갖는다. 하지만 B site의 Fe^{3+} 이온은 6개의 최인접 A site와 6개의 최인접 B site를 갖고 있기 때문에 Fe^{3+} 이온당 자기화가 A site보다 B site가 크다.

Zn 함유량 x가 증가됨에 따라, A site의 Fe^{3+} 이온은 평균적으로 B site의 Fe^{3+} 이온과 $(1+x)/2$ 의 자기적 결합을, 그리고 Ni^{2+} 이온과 $(1-x)/2$ 의 자기적 결합을 가지므로 A site의 자기화는 증가한다. B site의 Fe^{3+} 이온은 A site의 Fe^{3+} 이온과 $(1-x)/2$ 의 자기적 결합을 가지므로 B site의 자기화는 감소할 것이다.

하지만, Mössbauer 실험으로 측정된 각 site의 Fe^{3+} 이온에 작용하는 자기장은 Zn 함유량 x가 증가됨에 따라 감소하고 있다. 이러한 사실은 자기모우멘트의 선형적 결합으로 설명될 수 없다. Zn 함유량 x가 증가됨에 따라 A site의 Fe^{3+} 이온은 B site로 이동하므로, B site의 $\text{Fe}^{3+} - \text{O}^{2-} - \text{Fe}^{3+}$ 초교환 상호작용은 증가할 것이다. 따라서 Yafet-Kittel의 이론에 따라 B site의 자기 모우멘트가 서로 cant될 확률은 증가할 것이다.

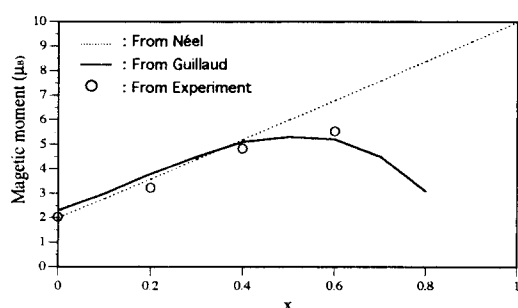
자기적 구조는 B site가 두개의 부격자(B1, B2)로 구성된 삼각 배열을 이루고 있음을 가정할 때, 기울어진 스픈 구조에 대한 간접적 증거는 자기장과 자기화는 서로 비례하는 사실로 부터 다음 근사식에서 얻을 수 있다.

$$\begin{aligned} \mu(x) &= \frac{|H_{B1}(x)|}{|H_{B1}(0)|} \\ &\quad \{(1+x)/2\} \mu(\text{Fe}^{3+}) + \{(1-x)/2\} \mu(\text{Ni}^{2+}) \\ &+ \frac{|H_{B2}(x)|}{|H_{B2}(0)|} \\ &\quad \{(1-x)/2\} \mu(\text{Fe}^{3+}) + \{(1+x)/2\} \mu(\text{Ni}^{2+}) \\ &- \frac{|H_A(x)|}{|H_A(0)|} (1-x) \mu(\text{Fe}^{3+}) \end{aligned} \quad (8)$$

여기서 $\mu(x)$ 는 $\text{Ni}_{1-x}\text{Zn}_x\text{Fe}_2\text{O}_4$ 단위포의 자기 모우멘트, $\mu(\text{Fe}^{3+})$ 와 $\mu(\text{Ni}^{2+})$ 는 각각 Fe^{3+} 와 Ni^{2+} 의 Bohr 자기 모우멘트(μ_B), $H_A(x)$ 는 A site의 초미세자기장, $H_{B1}(x)$ 와 $H_{B2}(x)$ 는 각각 B site의 초미세자기장이다. $\mu(\text{Fe}^{3+})$ 와 $\mu(\text{Ni}^{2+})$ 는 각각 $5 \mu_B$ 와 $2 \mu_B$ 이며, $H_{B1}(x)$, $H_{B2}(x)$ 와 $H_A(x)$ 의 측정치로 부터 계산한 자기 모우멘트는 Fig. 8과 Table III과 같다.

Table III. Magnetic moment of $\text{Ni}_{1-x}\text{Zn}_x\text{Fe}_2\text{O}_4$ ferrite.

x	Magnetic Moment (μ_B)
0	2.0
0.2	3.3
0.4	4.8
0.6	5.5

Fig. 8. The magnetic moment of $\text{Ni}_{1-x}\text{Zn}_x\text{Fe}_2\text{O}_4$ as a function of Zn content x.

Mössbauer 효과는 $\langle S_z \rangle$ 의 크기를 측정하므로 기울어진 스피너구조를 갖고 있음을 간접적으로 시사하고 있다. 이러한 사실은 Guillaud와 Savatzky의 NMR 실험결과와 유사하다 [3, 13].

Fig. 8에서 실선으로 그려진 곡선은 Guillaud의 실험 결과이며 [3], 점선은 A site와 B간의 반평행배열인 Néel의 이론으로부터 그려진 것이다. 원으로 표시된 것은 Mössbauer 실험의 결과로 부터 계산된 결과이다.

$0.2 \leq x \leq 0.6$ 의 $\text{Ni}_{1-x}\text{Zn}_x\text{Fe}_2\text{O}_4$ 페라이트에서 자기 모우멘트는 B-B 초교환 상호작용의 상대적 증가로 스팬이 cant된 Yafet-Kittel의 자기적 구조를 갖는다.

IV. 결 론

본 연구에서 세라믹 소결법으로 제작한 $\text{Ni}_{1-x}\text{Zn}_x\text{Fe}_2\text{O}_4$ ($0 \leq x \leq 1$) 페라이트의 실온에서 X-선 회절분석과 Mössbauer 스펙트럼 분석결과 다음과 같은 결론을 얻었다.

1. X-선 회절 실험결과 $\text{Ni}_{1-x}\text{Zn}_x\text{Fe}_2\text{O}_4$ 페라이트는 Zn 함유량 x에 관계없이 모두 스피넬 구조를 가지며, x가 증가됨에 따라 격자상수는 선형으로 증가하여 $8.3111 \text{ \AA} \sim 8.4184 \text{ \AA}$ (± 0.0003)이다. 산소 파라미터는 $x = 0.4 \sim 0.8$ 사이에서 크게 증가하였으며 그 값은 0.3799 ~ 0.3852 이다.
2. Zn 함유량 x가 증가됨에 따라 A site와 산소이온사이의 거리 A-O는 증가하여 B site와 산소이온사이의 거리 B-O는 감소하며, A-O거리의 변화율이 B-O거리의 변화율보다 크다.
3. $\text{Ni}_{1-x}\text{Zn}_x\text{Fe}_2\text{O}_4$ 페라이트의 Mössbauer 스펙트럼은 $0 \leq x \leq 0.6$ 에서는 준강자성, 특히 $x = 0.6$ 은 완화현상을 가지며, $x \geq 0.8$ 은 상자성으로 나타난다.
4. $\text{Ni}_{1-x}\text{Zn}_x\text{Fe}_2\text{O}_4$ 페라이트에서 Zn 함유량에 관계없이 B site의 이성질체 이동은 A site의 이성질체 이동보다 크다.
5. $0 \leq x \leq 0.6$ 에 대하여 $\text{Ni}_{1-x}\text{Zn}_x\text{Fe}_2\text{O}_4$ 페라이트에서 B site의 초미세 자기장은 A site의 초미세 자기장보다 크다. Zn 함유량 x가 증가됨에 따라 초미세 자기장은 감소하며 A site의 감소율이 B site의 감소율에 비해 크다.
6. $x = 0$ 인 $\text{Ni}_{1-x}\text{Zn}_x\text{Fe}_2\text{O}_4$ 페라이트에서 Fe^{3+} 이온들은 A site와 B site의 두 site를 점유하며 두 site의 분포비가 1:1인 역 스피넬 구조를 갖고 있다.
7. $0.2 \leq x \leq 0.6$ 의 $\text{Ni}_{1-x}\text{Zn}_x\text{Fe}_2\text{O}_4$ 페라이트에서 자기 모우멘트는 $\text{Fe}^{3+} - \text{O}^{2-} - \text{Fe}^{3+}$ 초교환 상호작용의 상대적 증가로 Yafet-Kittel의 자기적 구조인 스팬이 cant현상이 일어난다.

참 고 문 헌

- [1] L. Néel, Ann. Phys. 3, 137 (1948).

- [2] H. M. Rietveld, J. Appl. Cryst., **2**, 65 (1969).
- [3] C. Guillaud, J. Phys. Rad., **12**, 239 (1951).
- [4] L. R. Walker, G. K. Wertheim and V. Jaccarino, Phys. Rev. Lett., **6**, 98 (1961).
- [5] J. Danon, An Introduction to Mössbauer Spectroscopy, ed. by L. May, Plenum Press, New York, London (1971) pp. 120 ~ 137.
- [6] J. M. Daniel and Rosencwaig, Can. J. Phys., **48**, 381 (1969).
- [7] A. H. Hudson and H. J. Whitfield, Mol. Phys., **12**, 165 (1967).
- [8] Y. Yaffet and C. Kittel, Phys. Rev., **87**, 290 (1952).
- [9] C. M. Srivasta, S. N. Shringi and R. G. Srivasta, Phys. Rev., **B14**, 2041 (1976).
- [10] V. U. Patit and R. G. Kulkarni, Solid State Comm., **31**, 551 (1979).
- [11] R. V. Upadhyay and R. G. Kulkarni, Solid State Comm., **48** (8), 691 (1983).
- [12] S. Geller et al, J. Phys. Chem. Solids, **23**, 1525 (1962).
- [13] G. A. Savatzky, F. Van der Woude and A. H. Morrish, Phys. Rev., **187** (2), 747 (1969).

A Study on Magnetic Properties of $\text{Ni}_{1-x}\text{Zn}_x\text{Fe}_2\text{O}_4$ ($0 \leq x \leq 1$) Ferrite

I. H. Cho, J. S. Yang, E. C. Kim and S. G. Kang

Department of Physics, Yeungnam University, Keyungsan 712-749

(Received 6 November 1996, in final form 3 January 1997)

The magnetic properties of $\text{Ni}_{1-x}\text{Zn}_x\text{Fe}_2\text{O}_4$ have been studied by X-ray diffractometry and Mössbauer Spectroscopy at room temperature. The X-ray diffraction study shows that spinel structure is formed in all x, lattice constants linearly increased from 8.3111 \AA to 8.4184 \AA (± 0.0003) with increasing x from 0 to 1, and oxygen parameter increase with increasing x. Mössbauer spectrum shows that $\text{Ni}_{1-x}\text{Zn}_x\text{Fe}_2\text{O}_4$ ($x = 0$) has two antiparallel magnetic structure due to Fe^{3+} octahedral site and Fe^{3+} tetrahedral site. $\text{Ni}_{1-x}\text{Zn}_x\text{Fe}_2\text{O}_4$ with $0.2 \leq x \leq 0.6$ has magnetic structure of Yafet and Kittel, in particular, specimen with $x = 0.6$ shows relaxation effect. Specimen with $x \geq 0.8$ show paramagnetic quadrupole splitting. The isomer shift is independent of x, but quadrupole splittings decrease with increasing x in the range of $0.8 \leq x \leq 1$, and nuclear magnetic fields decrease with increasing x in the range of $0 \leq x \leq 0.6$. The magnetic properties of $\text{Ni}_{1-x}\text{Zn}_x\text{Fe}_2\text{O}_4$ change from ferrimagnetics to paramagnetics with increasing x.